

1

Introdução

Códigos Turbo e o Problema da Codificação de Canal

Em um sistema de comunicação, o objetivo consiste em transmitir uma mensagem através de um canal ruidoso, de modo que o receptor seja capaz de determinar esta mensagem com confiabilidade, diante das adversidades impostas pelo canal.

O problema da codificação de canal consiste em projetar um código \mathcal{C} de taxa R , que viabilize o objetivo descrito acima. As seguintes definições introduzem os conceitos de código e taxa.

Definição 1.1 (Código) Um código \mathcal{C} de comprimento n e cardinalidade \mathfrak{M} sobre um corpo \mathbb{F} é um subconjunto de \mathbb{F}^n com \mathfrak{M} elementos, ou seja

$$\mathcal{C} \triangleq \{\mathbf{c}^{[1]}, \dots, \mathbf{c}^{[\mathfrak{M}]}\}, \mathbf{c}^{[i]} \in \mathbb{F}^n, 1 \leq i \leq \mathfrak{M} \quad (1-1)$$

onde $\mathbf{c}^{[i]}$ é denominada *palavra código*. A *taxa* de um código \mathcal{C} é definida como $R \triangleq 1/n \log_{|\mathbb{F}|} \mathfrak{M}$ símbolos de informação por símbolos codificados. ■

Definição 1.2 (Código linear) Um código \mathcal{C} sobre \mathbb{F} é *linear* se

$$\alpha \mathbf{c} + \beta \mathbf{c}' \in \mathcal{C}, \quad \forall \mathbf{c}, \mathbf{c}' \in \mathcal{C} \text{ e } \forall \alpha, \beta \in \mathbb{F} \quad (1-2)$$

i.e., \mathcal{C} é um *subespaço vetorial* do espaço vetorial \mathbb{F}^n . A dimensão k do código \mathcal{C} é a dimensão de \mathcal{C} como um espaço vetorial; em particular, $\mathfrak{M} = |\mathbb{F}|^k$. A taxa de um código linear \mathcal{C} é dada por $R = k/n$. ■

No projeto de \mathcal{C} , busca-se um compromisso entre cinco parâmetros:

- Taxa do código - R ;
- Probabilidade de erro de bit - $P(e_b)$;
- Tamanho do código - n ;
- Complexidade da codificação;

- Complexidade da decodificação.

O interesse é maximizar R , transmitindo assim o máximo de informação por símbolo codificado; e minimizar os demais parâmetros, garantindo a maior confiabilidade na transmissão e diminuindo custos de implementação e o atraso que \mathcal{C} introduz.

A teoria da informação surgida em 1948 com o artigo seminal de Claude Shannon [1], estabelece os limitantes teóricos para uma comunicação confiável através de um canal ruidoso.

Nesta teoria, Shannon propôs o teorema da codificação de canal, que garante ser possível realizar transmissões à probabilidades de erro arbitrariamente baixas, desde que a taxa R de codificação seja menor que a capacidade do canal utilizado, e que o comprimento do código empregado seja suficientemente grande ($n \rightarrow \infty$). Para um canal AWGN (Aditive White Gaussian Noise), a capacidade de canal, calculada em [1], é

$$C = \frac{1}{2} \log_2 \left(1 + 2 \frac{RE_b}{\mathcal{N}_0} \right) \quad \text{bits/uso do canal,} \quad (1-3)$$

onde E_b é a energia por bit e \mathcal{N}_0 caracteriza a densidade espectral de potência do ruído.

A partir da Eq. (1-3) é possível obter a desigualdade¹ [30], p. 145,

$$\frac{E_b}{\mathcal{N}_0} \leq \frac{2^{2R[1-H_b(P(e_b))]} - 1}{2R} \quad (1-4)$$

onde $P(e_b)$ é a probabilidade de erro de bit, e $H_b(P(e_b))$ a função entropia binária.

A Eq. (1-4) estabelece duas regiões. A região em que o par $(P(e_b), E_b/\mathcal{N}_0)$ é tal que a desigualdade (1-4) é satisfeita, denominada de *região admissível*, ou seja, existe um código de taxa R e desempenho $(P(e_b), E_b/\mathcal{N}_0)$ cujos parâmetros se encontram nesta região. E outra região denominada de *região não-admissível*, na qual não existe um código de taxa R com desempenho $(P(e_b), E_b/\mathcal{N}_0)$ para esta região.

A Eq. (1-4) também informa a mínima razão E_b/\mathcal{N}_0 , para a qual é possível se transmitir com probabilidade de erro de bit $P(e_b)$, quando a taxa é R . Na Fig. 1.1 estão plotadas as curvas correspondentes a (1-4) para algumas taxas R , estas curvas são conhecidas como limitantes de Shannon para o par $(P(e_b), R)$.

O teorema da codificação de canal é um teorema de existência, que afirma que há códigos que permitem transmissão confiável, mas não diz

¹A entropia binária é obtida como $H_b(P(e_b)) = -P(e_b) \log_2(P(e_b)) - (1 - P(e_b)) \log_2(1 - P(e_b))$.

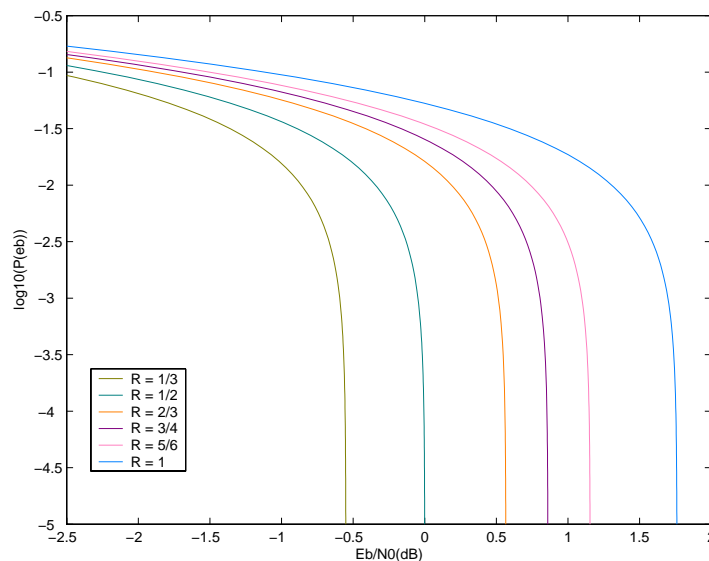


Figura 1.1: Desigualdade em (1-4) para as taxas $R = 1/3, 1/2, 2/3, 3/4, 5/6$.

como encontrá-los. Shannon para prová-lo, utilizou códigos \mathcal{C} escolhidos aleatoriamente e de comprimentos n longos, tendendo a infinito. Entretanto, aumentar o tamanho n para esses códigos, implicava em um nível de complexidade de decodificação que impossibilitava a implementação de \mathcal{C} na prática.

Era necessário, buscar um esquema de menor complexidade. Este fato motivou vários pesquisadores da área e impulsionou a criação de diversos códigos com aplicabilidade prática, mas que no entanto não eram capazes de operar próximo ao limitante de Shannon.

Em 1993, Berrou et. al [4] propuseram um esquema de codificação que produzia palavras códigos longas e decodificação com complexidade que cresce linearmente com o comprimento do código. Esse esquema permite uma comunicação confiável com valores de E_b/\mathcal{N}_0 muito próximos do limitante de Shannon. A baixa complexidade e o alto desempenho desse esquema, fizeram com que o mesmo fosse considerado uma solução bastante atrativa para o problema da decodificação de canal. A este esquema de codificação deu-se o nome de códigos turbo.

A busca por uma uma comunicação com $P(e_b)$ tão pequena quanto se queira, vem incentivando a utilização destes códigos em padrões de comunicação atuais, dentre eles estão pradrões de telefonia celular da 3ª geração, de televisão digital e de comunicação via satélites, o que torna importante um estudo detalhado deste código.

Sistema de Comunicação

O modelo teórico utilizado neste trabalho para um sistema de comunicações está ilustrado na Fig. 1.2. Neste modelo, é assumido que a fonte utilizada é binária, e que portanto a mensagem \mathbf{m} que se deseja transmitir, consiste de um bloco de bits de tamanho k , representada por

$$\mathbf{m} = \left(m_0 \ m_1 \ \cdots \ m_{k-1} \right) \quad (1-5)$$

onde os bits de \mathbf{m} são considerados equiprováveis e independentes entre si.

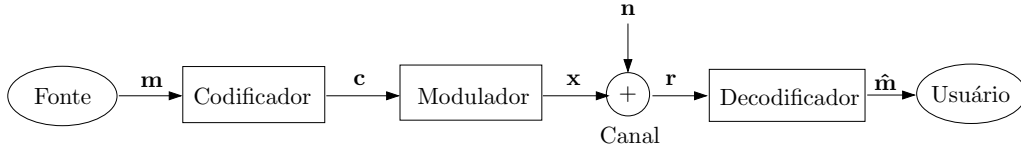


Figura 1.2: Sistema de comunicação simplificado.

A mensagem \mathbf{m} é enviada a um *codificador* correspondente a um código \mathcal{C} de comprimento n e taxa $R = k/n$, que a partir de \mathbf{m} gera uma palavra código \mathbf{c} dada por

$$\mathbf{c} = \left(c_0 \ c_1 \ \cdots \ c_{n-1} \right). \quad (1-6)$$

A cada b bits de \mathbf{c} , o modulador gera um símbolo modulado x_ℓ , para $\ell = 0, \dots, M-1$, onde $M = n/b$, através de um mapeamento $x_\ell = \mathcal{M}(c_{\ell b}, c_{\ell b+1}, \dots, c_{\ell b+(b-1)})$. Para uma constelação b -ária, unidimensional, com $x_\ell \in \mathcal{A}^x = \{\pm 1, \dots, \pm(2^b - 1)\}$, a seqüência modulada é dada por

$$\mathbf{x} = \left(x_0 \ x_1 \ \cdots \ x_{M-1} \right). \quad (1-7)$$

Considerando que o canal utilizado seja gaussiano, a seqüência modulada \mathbf{x} é corrompida por um ruído aditivo gaussiano branco AWGN, representado pela variável aleatória gaussiana n_ℓ , com média zero e variância $\frac{N_0}{2}$, cuja função densidade de probabilidade é representada pela notação $\mathcal{N}(0, \frac{N_0}{2})$.

Na recepção, a seqüência recebida

$$\mathbf{r} = \left(r_0 \ r_1 \ \cdots \ r_{M-1} \right) \quad (1-8)$$

onde r_ℓ são valores reais obtidos por

$$r_\ell = x_\ell + n_\ell, \quad (1-9)$$

onde \mathbf{r} é disponibilizada para o decodificador, e r_ℓ assume valores em um alfabeto $\mathcal{A}^r \subset \mathbb{R}$.

Como pode-se observar na Eq. (1-9), o canal estabelece uma relação probabilística entre \mathbf{x} e \mathbf{r} ; e a partir de \mathbf{r} , o decodificador entrega uma estimativa $\hat{\mathbf{m}}$ de \mathbf{m} para o usuário.

Problema da Decodificação

Para solucionar o problema da decodificação, considera-se que uma palavra código \mathbf{c} foi transmitida através de um canal ruidoso e \mathbf{r} é a seqüência observada. Dado \mathbf{r} , o problema da decodificação pode ser formulado de duas maneiras [28]:

- 1) **Problema da decodificação da palavra código:** é a tarefa de encontrar uma maneira ótima de, observando \mathbf{r} , inferir qual palavra código \mathbf{c} foi transmitida.
- 2) **Problema da decodificação dos bits transmitidos:** é a tarefa de encontrar uma maneira ótima de, observando \mathbf{r} , inferir qual bit c_i foi transmitido.

As soluções dos problemas formulados acima, fundamentam-se no teorema de Bayes

$$P(\mathbf{c}|\mathbf{r}) = \frac{P(\mathbf{r}|\mathbf{c})P(\mathbf{c})}{P(\mathbf{r})}, \quad (1-10)$$

onde $P(\mathbf{c}|\mathbf{r})$ é a probabilidade *a posteriori* da palavra código \mathbf{c} .

A Eq. (1-10) é composta pelos seguintes fatores:

- $P(\mathbf{r}|\mathbf{c})$, denominada *verossimilhança (likelihood)* da palavra código \mathbf{c} , é definida pelo modelamento do canal.
- $P(\mathbf{c})$, a *probabilidade a priori* de \mathbf{c} , é geralmente considerada uniforme ao longo de todas as palavras códigos.
- $P(\mathbf{r})$ é apenas uma constante de normalização, dada por

$$P(\mathbf{r}) = \sum_{\mathbf{c}} P(\mathbf{r}|\mathbf{c})P(\mathbf{c}). \quad (1-11)$$

A solução do problema de decodificação seguindo a primeira formulação, busca maximizar a probabilidade *a posteriori* $P(\mathbf{c}|\mathbf{r})$. Quanto à segunda formulação, a solução otimiza para o i -ésimo bit c_i , marginalizando

a Eq. (1-10) em relação aos outros bits para todas as palavras código, a probabilidade

$$P(c_i|\mathbf{r}) = \sum_{\{i \neq i'\}} P(\mathbf{c}|\mathbf{r}). \quad (1-12)$$

No caso da decodificação turbo, a solução segue a segunda formulação.

Organização do Trabalho

Neste trabalho, abordamos a utilização dos códigos turbo como solução para o problema da codificação de canal. Foi realizada uma revisão da literatura, visando a compreensão dos principais conceitos relacionados à codificação e à decodificação turbo.

O problema da decodificação turbo, em especial, foi explorado segundo duas abordagens denominadas neste trabalho de

Abordagem Convencional: foi introduzida por Berrou et. al [4], esta abordagem é comumente utilizada em vários artigos que abordam códigos turbo. Nela a decodificação turbo é desenvolvida baseada na treliça dos códigos componentes.

Abordagem por Grafo-Fatores: nesta abordagem a decodificação turbo é desenvolvida baseada no grafo-fator [25] que o representa, é uma teoria moderna e que esclarece de forma didática vários aspectos da decodificação turbo.

Foi desenvolvido também um simulador turbo, seguindo a abordagem de grafos-fatores, a fim de se constatar e avaliar, através de simulações, fatores que justificam e influenciam a excelente performance dos códigos turbo.

Esta dissertação está organizada da seguinte maneira: o Capítulo 2 introduz os principais conceitos e fundamentos para a compreensão da codificação turbo; no Capítulo 3, a decodificação turbo é desenvolvida segundo a abordagem convencional; no Capítulo 4 é revisada a teoria de grafos-fatores e a decodificação turbo é discutida detalhadamente segundo essa teoria; no Capítulo 5, os resultados obtidos através do simulador turbo são analisados; e por fim o Capítulo 6 apresenta as conclusões deste trabalho e algumas sugestões de pesquisa para trabalhos futuros.